

## Раздел II. Математическое моделирование

---

*В.И. Дмитриев, И.С. Барашков*

### ЧИСЛЕННЫЙ АНАЛИЗ МЕТОДА ИНТЕГРАЛЬНЫХ УРАВНЕНИЙ В ЗАДАЧЕ РАСЧЁТА ЭЛЕКТРОМАГНИТ- НОГО ПОЛЯ В НЕОДНОРОДНОЙ СРЕДЕ

#### Введение

В прикладной электродинамике часто необходимо проводить математическое моделирование электромагнитных полей в проводящих неоднородных средах. Одной из наиболее значимых проблем является построение методов решения прямых и обратных задач электромагнитного зондирования неоднородной среды с целью определения её строения. В частности, такие задачи лежат в основе теории электроразведки, электрокаротажа и электромагнитных методов глубинного исследования Земли. В этом случае фундаментальной моделью строения среды является неоднородная область  $V_H$  с произвольным изменением неоднородной электропроводности  $\sigma_H(M)$ , расположенная в слоистой среде  $\sigma_C(z)$  (электропроводность изменяется только с глубиной). Такие задачи часто решаются с помощью интегральных уравнений. Метод интегральных уравнений показал свою высокую эффективность. Однако при вычислениях полей в проводящих средах при низких частотах расчеты показали, что с уменьшением частоты необходимо пропорционально уменьшать шаг сетки, на которой интегральное уравнение сводится к алгебраической системе. Причём это явление проявляется в случае контрастных проводящих сред, когда проводящая неоднородность находится в плохо проводящей среде.

Анализ интегрального уравнения в этом случае в работе [1] показал, что это происходит из-за поведения тензорной функции Грина для уравнения Максвелла для слоистой контрастной среды. В слое с малой электропроводностью необходимо аппроксимировать ядро уравнения с более высокой точностью, что приводит к уменьшению шага сетки. Численному анализу этого явления и посвящена настоящая статья. В статье также показана эффективность борьбы с этим явлением с помощью метода повышения фоновой проводимости.

Эффект контрастности среды наиболее сильно проявляется в случае  $H$ -поляризованного двумерного электромагнитного поля в неоднородной среде. Поэтому численный эксперимент проводится именно для этого случая.

# 1. Постановка задачи для $H$ – поляризованного поля в слоистой среде

Рассмотрим двумерную проводящую среду (рис. 1), в которой зона неоднородности  $V_H$  с электропроводностью  $\sigma_H$  находится в трёхслойной горизонтально однородной слоистой среде. Причём второй слой, в котором находится неоднородность, имеет проводимость

$$\sigma_2 \ll \sigma_1 \text{ и } \sigma_2 \ll \sigma_H.$$

Для этой среды будем решать задачу расчёта электромагнитного поля возбуждаемого плоской волной, вертикально падающей на земную поверхность. Задача с таким возбуждением поля называется задачей магнитотеллурического зондирования (МТЗ).

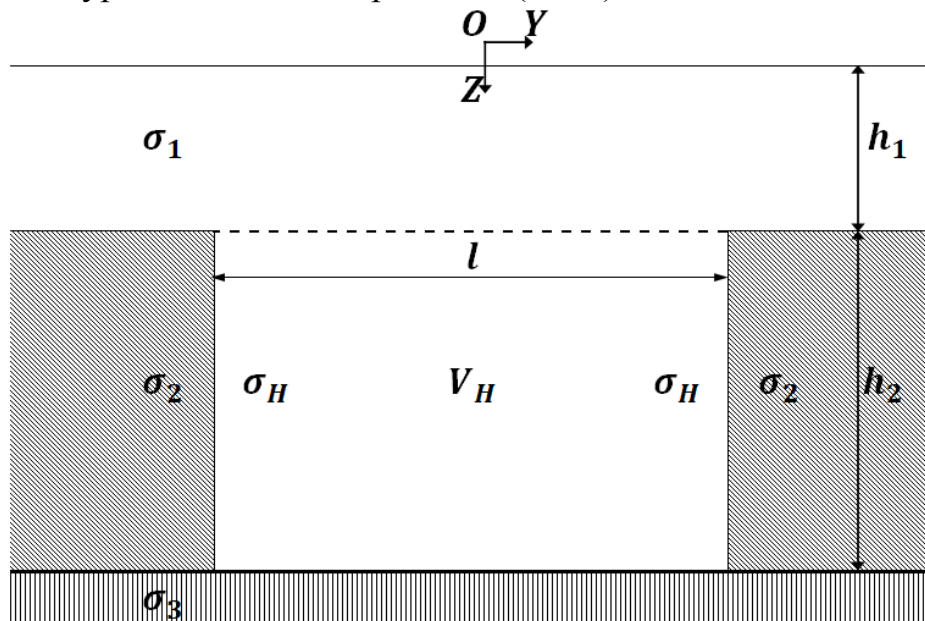


Рис.1. Стандартная модель строения неоднородной среды.

В двумерном случае электромагнитное поле распадается на две независимых поляризации. Пусть среда и источники поля не зависят от координаты  $x$ . Тогда в уравнениях Максвелла

$$\begin{cases} \text{rot } H = \sigma E, \\ \text{rot } E = i\omega\mu H \end{cases} \quad (1)$$

положим

$$\frac{\partial}{\partial x} \equiv 0 \quad (2)$$

и получим:

1.  $E$  – поляризованное поле  $E = (E_x, 0, 0)$ ,  $H = (0, H_y, H_z)$ :

$$\frac{\partial H_z}{\partial y} - \frac{\partial H_y}{\partial z} = \sigma E_x, \quad (3)$$

$$\frac{\partial E_x}{\partial z} = i\omega\mu H_y, \quad \frac{\partial E_x}{\partial y} = -i\omega\mu H_z. \quad (4)$$

2.  $H$  – поляризованное поле  $E = (0, E_y, E_z)$ ,  $H = (H_x, 0, 0)$ :

$$\frac{\partial H_x}{\partial z} = \sigma E_y, \quad (5)$$

$$\frac{\partial H_x}{\partial y} = -\sigma E_z, \quad (6)$$

$$\frac{\partial E_z}{\partial y} - \frac{\partial E_y}{\partial z} = i\omega\mu H_x. \quad (7)$$

Подробно рассмотрим случай  $H$ –поляризации, когда

$$\frac{\partial}{\partial x} \equiv 0, \quad E_x = 0,$$

$$H = (H_x, 0, 0), \quad E = (0, E_y, E_z).$$

Из уравнения (7) найдём  $H_x$ :

$$H_x = \frac{1}{i\omega\mu} \left( \frac{\partial E_z}{\partial y} - \frac{\partial E_y}{\partial z} \right). \quad (8)$$

Это выражение для  $H_x$  подставим в уравнения (5) и (6). Тогда при  $z > 0$  получим систему уравнений для электрического поля

$$E_y = E_y(y, z), \quad E_z = E_z(y, z).$$

Система имеет вид:

$$\frac{\partial}{\partial z} \left( \frac{\partial E_z}{\partial y} - \frac{\partial E_y}{\partial z} \right) = i\omega\mu\sigma E_y, \quad (9)$$

$$\frac{\partial}{\partial y} \left( \frac{\partial E_z}{\partial y} - \frac{\partial E_y}{\partial z} \right) = -i\omega\mu\sigma E_z \quad (10)$$

с краевыми условиями в задаче магнитотеллурического зондирования (МТЗ), в которой поле возбуждается плоской волной, вертикально падающей на земную поверхность

$$E_z(y, z) \Big|_{z=0} = 0, \quad E_z(y, z) \Big|_{z=\infty} = 0, \quad E_z(y, z) \Big|_{y=\pm\infty} = 0, \quad (11)$$

$$H_x \Big|_{z=0} = \frac{1}{i\omega\mu} \left( \frac{\partial E_z}{\partial y} - \frac{\partial E_y}{\partial z} \right) \Big|_{z=0} = -\frac{1}{i\omega\mu} \frac{\partial E_y}{\partial z} \Big|_{z=0} = 1, \quad (12)$$

$$E_y(y, z) \Big|_{z=\infty} = 0, \quad E_y(y, z) \Big|_{y=\pm\infty} = E_y^0(z) \quad (13)$$

и условиями непрерывности тангенциальных компонент поля на границах разрыва проводимости  $\sigma(y, z)$

$$[E_y] = 0 \quad (14)$$

на горизонтальных границах разрыва проводимости  $\sigma(y, z)$ ,

$$[E_z] = 0 \quad (15)$$

на вертикальных границах разрыва проводимости  $\sigma(y, z)$ , где  $E_y^0(z)$  – поле в горизонтально однородной слоистой среде стандартной модели, а квадратными скобками обозначен разрыв функции.

В задаче требуется найти импеданс  $Z(y, z=0)$  на поверхности земли

$$Z(y, z=0) = \frac{E_y(y, z=0)}{H_x(y, z=0)}. \quad (16)$$

Согласно граничному условию нормировки (12) на поверхности земли для магнитного поля  $H_x$  при вычислении импеданса  $Z$  на поверхности земли достаточно знать только горизонтальную компоненту электрического поля  $E_y$ .

Система интегральных уравнений для решения задачи (9)-(15) в случае  $H$  – поляризации по конечной прямоугольной области  $V_H$  получена в работе [4] и имеет вид:

$$E_y(M) - \int_{V_H} \{G_{yy}[\sigma_H(M^0) - \sigma_2(M^0)]E_y(M^0) + G_{yz}[\sigma_H(M^0) - \sigma_2(M^0)]E_z(M^0)\} ds_{M^0} = E_y^0(z), \quad (17)$$

$$E_z(M) - \int_{V_H} \{G_{zy}[\sigma_H(M^0) - \sigma_2(M^0)]E_y(M^0) + G_{zz}[\sigma_H(M^0) - \sigma_2(M^0)]E_z(M^0)\} ds_{M^0} = 0, \quad (18)$$

где

$$G_{yy}(y - y^0, z, z^0), G_{yz}(y - y^0, z, z^0), G_{zy}(y - y^0, z, z^0), G_{zz}(y - y^0, z, z^0)$$

являются компонентами двумерного тензора Грина для горизонтально однородной слоистой среды стандартной модели с проводимостью

$$\sigma_c(z) = \begin{cases} \sigma_1(z) & \text{при } 0 < z < h_1, \\ \sigma_2 & \text{при } h_1 < z < h_1 + h_2, \\ \sigma_3(z) & \text{при } z > h_1 + h_2, \end{cases} \quad (19)$$

а

$$E_y^0(z) = \frac{1}{\sigma_c(z)} \frac{\partial H_x^0(z)}{\partial z} \quad (20)$$

является одномерным нормальным электрическим полем в стандартной горизонтально однородной слоистой среде с этой проводимостью, нормированным таким образом, что соответствующее одномерное магнитное поле равно единице на поверхности земли

$$H_x^0(z) \Big|_{z=0} = 1. \quad (22)$$

Компоненты двумерного тензора Грина для случая  $H$  – поляризации построены в работе [4].

## 2. Описание метода повышения фоновой проводимости

В работе [1] предлагается следующий подход, позволяющий не уменьшать шаг сетки при понижении частоты поля. На рис. 1 показана стандартная модель строения неоднородной среды с неоднородностью в области  $V_H$  ширины  $l$ , которая имеет проводимость  $\sigma_H(M) = \sigma_1$ .

Согласно предложенному методу надо провести расширение модели неоднородности до ширины  $L$  с увеличением электропроводности слоя на расстоянии  $0,5(L-l)$  от неоднородности.

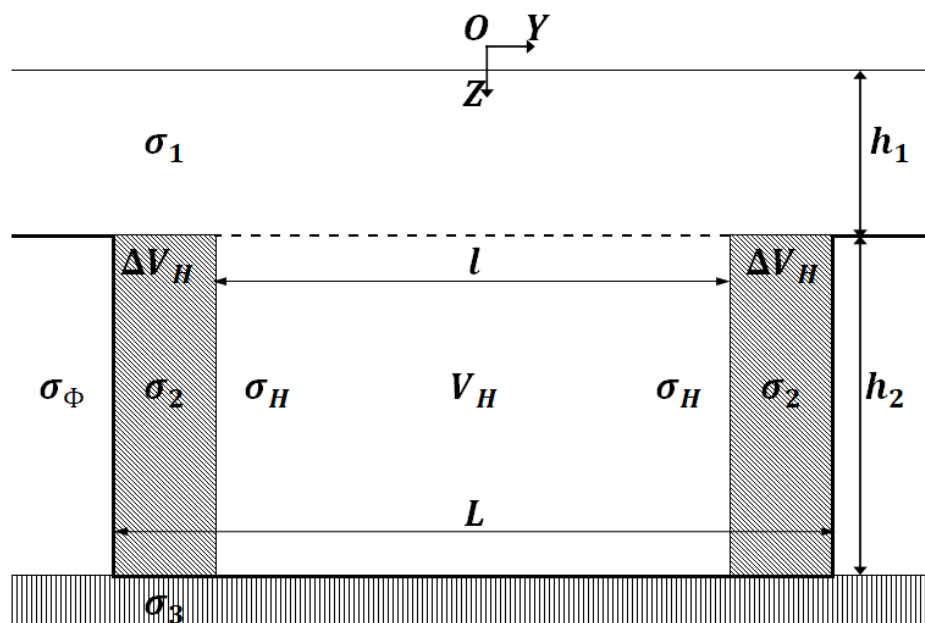


Рис. 2. Расширенная модель неоднородной зоны с повышением фоновой проводимости

Такая расширенная модель неоднородной зоны с повышением фоновой проводимости показана на рисунке 2. В этой модели зона неоднородности  $V_H$  увеличена на  $\Delta V_H$ . Эта дополнительная область окружает область  $V_H$ , а её проводимость равна  $\sigma_c$ . Вне этой расширенной области

$V_H + \Delta V_H$  проводимость слоя, в котором находится  $V_H + \Delta V_H$ , равна фоновой  $\sigma_\phi \gg \sigma_c$ . Ясно, что всегда существует такое расширение области неоднородности  $\Delta V_H$ , что наличие фоновой неоднородности практически не сказывается на результате моделирования поля в окрестности зоны  $V_H$ . Размер расширения зависит от частоты поля. Его можно определить с помощью следующего подхода. Наличие  $\sigma_\phi$  не должно практически влиять на нормальное поле в области  $V_H$ .

Рассмотрим расширенную область

$$S = \{-L/2 < y < L/2, \quad h_1 < z < h_1 + h_H\}. \quad (23)$$

Доопределим функцию  $\sigma_H(M)$  на всю расширенную область  $S$  и эту доопределённую функцию будем обозначать через  $\tilde{\sigma}_H(M)$ :

$$\tilde{\sigma}_H(M) = \begin{cases} \sigma_H(M) & \text{при } |y| < l/2, \\ \sigma_2 & \text{при } l/2 < |y| < L/2. \end{cases} \quad (24)$$

Система интегральных уравнений в случае  $H$ -поляризации по конечной расширенной прямоугольной области  $S$  имеет вид:

$$E_y(M) - \int_S \left\{ \tilde{G}_{yy} [\tilde{\sigma}_H(M^0) - \sigma_\phi(M^0)] E_y(M^0) + \tilde{G}_{yz} [\tilde{\sigma}_H(M^0) - \sigma_\phi(M^0)] E_z(M^0) \right\} ds_{M^0} = E_y^\phi(z), \quad (25)$$

$$E_z(M) - \int_S \left\{ \tilde{G}_{zy} [\tilde{\sigma}_H(M^0) - \sigma_\phi(M^0)] E_y(M^0) + \tilde{G}_{zz} [\tilde{\sigma}_H(M^0) - \sigma_\phi(M^0)] E_z(M^0) \right\} ds_{M^0} = 0, \quad (26)$$

где

$$\tilde{G}_{yy}(y - y^0, z, z^0), \quad \tilde{G}_{yz}(y - y^0, z, z^0), \quad \tilde{G}_{zy}(y - y^0, z, z^0), \quad \tilde{G}_{zz}(y - y^0, z, z^0)$$

являются компонентами двумерного тензора Грина для фоновой горизонтально однородной слоистой среды с проводимостью

$$\tilde{\sigma}_\phi(z) = \begin{cases} \sigma_1(z) & \text{при } 0 < z < h_1, \\ \sigma_\phi & \text{при } h_1 < z < h_1 + h_2, \\ \sigma_3(z) & \text{при } z > h_1 + h_2, \end{cases} \quad (27)$$

а

$$E_y^\phi(z) = \frac{1}{\tilde{\sigma}_\phi(z)} \frac{\partial H_x^\phi(z)}{\partial z} \quad (28)$$

является одномерным нормальным электрическим полем в фоновой горизонтально однородной слоистой среде с этой проводимостью, нормированным таким образом, что соответствующее одномерное магнитное поле равно единице на поверхности земли

$$H_x^\phi(z) \Big|_{z=0} = 1. \quad (29)$$

Компоненты двумерного тензора Грина для случая  $H$  – поляризации построены в работе [4].

После того, как поле в неоднородности уже найдено, можно рассчитать поле вне неоднородности по формулам пересчёта:

$$E_y(M) = \int_S \left\{ \tilde{G}_{yy} [\tilde{\sigma}_H(M^0) - \sigma_\phi(M^0)] E_y(M^0) + \tilde{G}_{yz} [\tilde{\sigma}_H(M^0) - \sigma_\phi(M^0)] E_z(M^0) \right\} ds_{M^0} + E_y^\phi(z), \quad (30)$$

$$E_z(M) = \int_S \left\{ \tilde{G}_{zy} [\tilde{\sigma}_H(M^0) - \sigma_\phi(M^0)] E_y(M^0) + \tilde{G}_{zz} [\tilde{\sigma}_H(M^0) - \sigma_\phi(M^0)] E_z(M^0) \right\} ds_{M^0}. \quad (31)$$

### 3. Результаты методических расчётов

На рисунке 3 показаны результаты методических расчётов модулей электрических полей на поверхности земли при  $z = 0$  для двумерной задачи магнитотеллурического зондирования в случае  $H$  – поляризации над двумерной неоднородностью в виде грабена для трёхслойной среды методом интегральных уравнений с фоновым слоем с проводимостью

$$\sigma_\phi / \sigma_1 = 0,8 \quad (32)$$

и конечно-разностным методом без введения фонового слоя. Пунктирной линией показано значение модуля одномерного нормального поля  $E_y^0(z)$  на поверхности земли при  $z = 0$  для одномерной среды стандартной исходной модели с проводимостью

$$\sigma_c(z) = \begin{cases} \sigma_1(z) & \text{при } 0 < z < h_1, \\ \sigma_2 & \text{при } h_1 < z < h_1 + h_2, \\ \sigma_3(z) & \text{при } z > h_1 + h_2. \end{cases}$$

Параметры модели были выбраны следующим образом:

$$\sigma_2 / \sigma_1 = 0,01; \quad \sigma_3 / \sigma_1 = 0,001; \quad \sigma_H / \sigma_1 = 1; \\ h_2 / h_1 = 1; \quad l / h_1 = 10; \quad L / h_1 = 20; \quad \lambda_1 / h_1 = 32,$$

где  $\lambda_1$  – длина волны в первом слое.

Расчёты показали, что введение фонового слоя очень мало влияет на поле над неоднородностью в виде грабена, которая расположена в области  $V_H$ .

На рисунке 4 показано поведение модуля горизонтальной компоненты электрического тока

$$I_y = \sigma E_y \quad (33)$$

в области  $S$  и выше, а на рисунке 5 показано поведение модуля вертикальной компоненты электрического тока

$$J_z = \sigma E_z \quad (34)$$

в области  $S$  и выше.

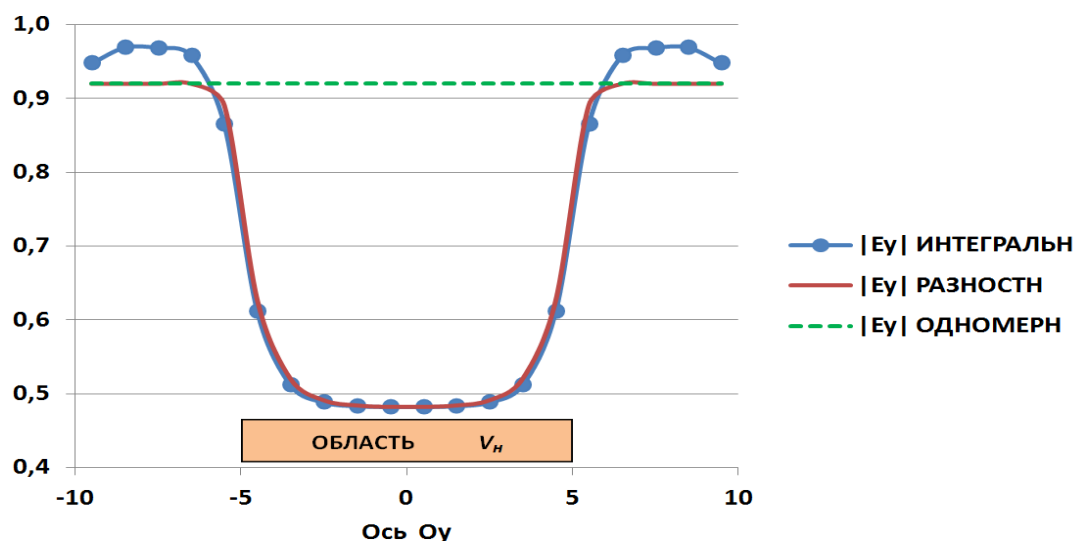


Рис.3. Сравнение модулей электрических полей над неоднородностью

Поверхности земли  $z = 0$  соответствует та часть рисунка, где показана ось  $Y$ . Противоположная сторона рисунка соответствует глубине  $z = 2$ , на которой расположена нижняя граница неоднородной области  $S$ .

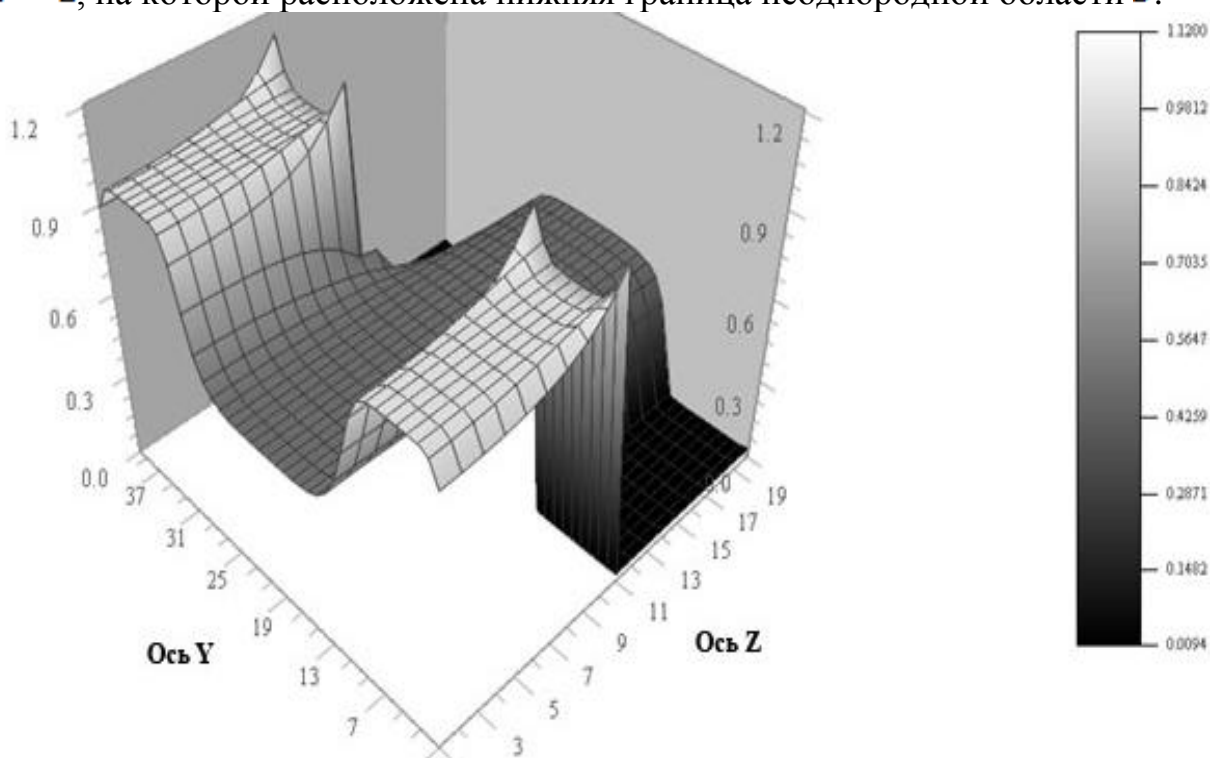


Рис. 4. Модуль горизонтальной компоненты электрического тока  $|J_y|$  при  $\sigma_\phi / \sigma_1 = 0,8$

На средней глубине при  $z = 1$  находится верхняя граница неоднородной области  $S$ . Центр неоднородной области  $S$  по горизонтали находится посередине отрезка, который на рисунке обозначен как ось  $Y$ .



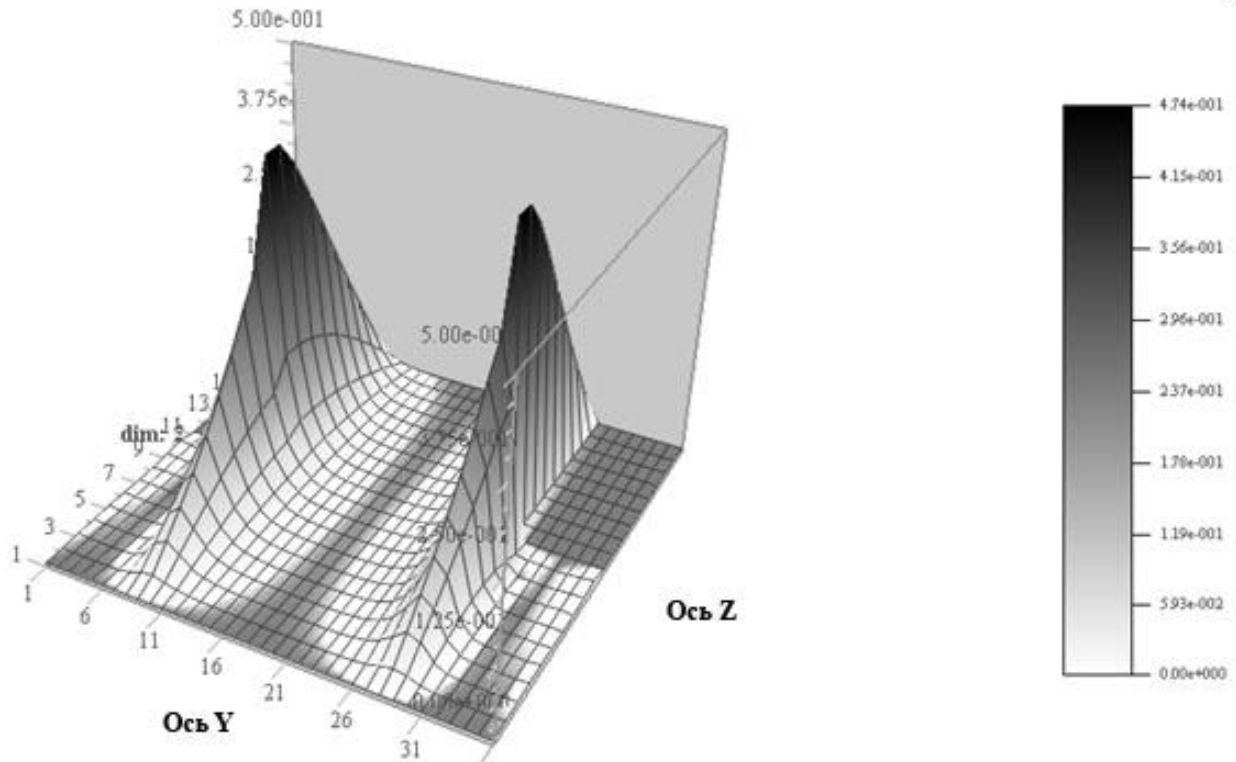


Рис. 5. Модуль вертикальной компоненты электрического тока  $|J_z|$  при  $\sigma_\phi / \sigma_1 = 0,8$

Из рисунка 4 видно, что горизонтальный ток внутри неоднородности в области  $S$ , посчитанный из системы интегральных уравнений (25)-(26) и горизонтальный ток над неоднородностью выше области  $S$ , посчитанный по формуле пересчёта (30) хорошо состыковываются. На верхней границе области  $S$  при  $z = 1$  не возникает какого-либо скачка функции  $|J_y|$ . Это соответствует физическому смыслу функции  $J_y$  и свидетельствует о правильности вычислений.

Из рисунка 5 видно, что ток, текущий в первом верхнем слое начинает заворачивать вниз в неоднородность уже при малой глубине  $z$ . Ниже этот ток складывается с током, который завернул вниз при несколько большей глубине  $z$ . Поэтому функция  $|J_z|$  возрастает по  $z$  при  $0 < z < 1$  над вертикальной боковой границе грабена. Попав внутрь грабена пришедший ток постепенно поворачивается и меняет направление на горизонтальное. Поэтому функция  $|J_z|$  убывает по  $z$  при  $1 < z < 2$ . Это соответствует физическому смыслу функции  $J_z$  и свидетельствует о правильности вычислений.

Для случая  $H$ -поляризации хорошо известно, что электрическое поле слева и справа от неоднородности в стандартной исходной модели строения неоднородной среды, изображённой на рисунке 1, быстро выхо-

дит на одномерное нормальное поле  $E_y^c(z)$  для одномерной среды стандартной исходной модели с проводимостью  $\tilde{\sigma}_c(z)$ .

На рисунке 3 быстрый выход на одномерное нормальное поле  $E_y^c(z)$  наблюдается только для кривой, посчитанной по разностному методу. В разностном методе на левой и правой границе сетки задаётся краевое условие первого рода, в котором указываются точные значения поля  $E_y^c(z)$ , посчитанного из одномерной задачи. Этим и объясняется хорошая точность разностного метода на левой и правой границе среды.

Воспользуемся аналогичным приёмом для интегрального метода. Вместо слишком больших значений  $|E_y|$  слева и справа от неоднородности возьмём значение  $|E_y^c(0)|$ , посчитанное из одномерной задачи. На рисунке 6 показан полученный подправленный и уточнённый результат.

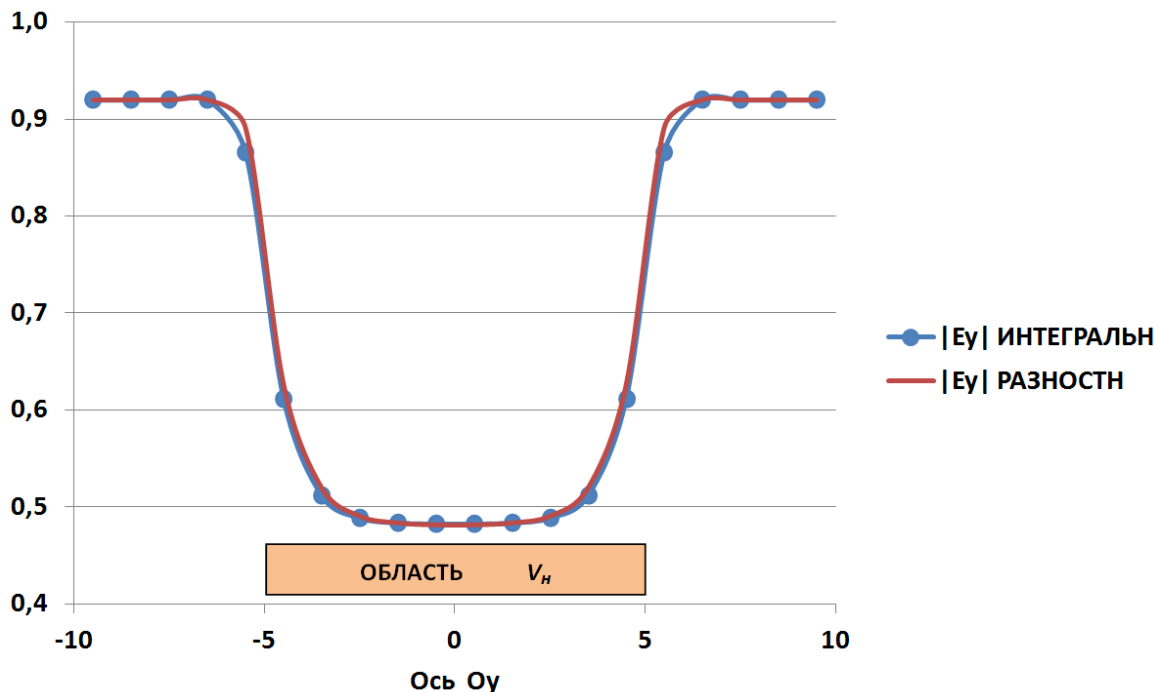


Рис.6. Сравнение модулей электрических полей над неоднородностью после уточнения.

Теперь результаты, посчитанные по разностной и по интегральной программе, практически полностью совпадают.

При уменьшении значения параметра  $\sigma_\phi$  результаты расчётов методом интегральных уравнений ухудшаются. На рисунках 7-9 приводятся результаты при  $\sigma_\phi / \sigma_1 = 0,38$ .

На рисунке 7 показан модуль горизонтальной компоненты электрического поля  $|E_y|$  на поверхности земли при  $\sigma_\phi / \sigma_1 = 0,8$  и при  $\sigma_\phi / \sigma_1 = 0,38$ . При уменьшенном значении параметра  $\sigma_\phi / \sigma_1 = 0,38$  над областью неоднородности  $V_H$  получается волнистая кривая, которая про-

ходит рядом с правильным графиком. Такой волнистый результат характерен для случая, когда задача решается неустойчиво.

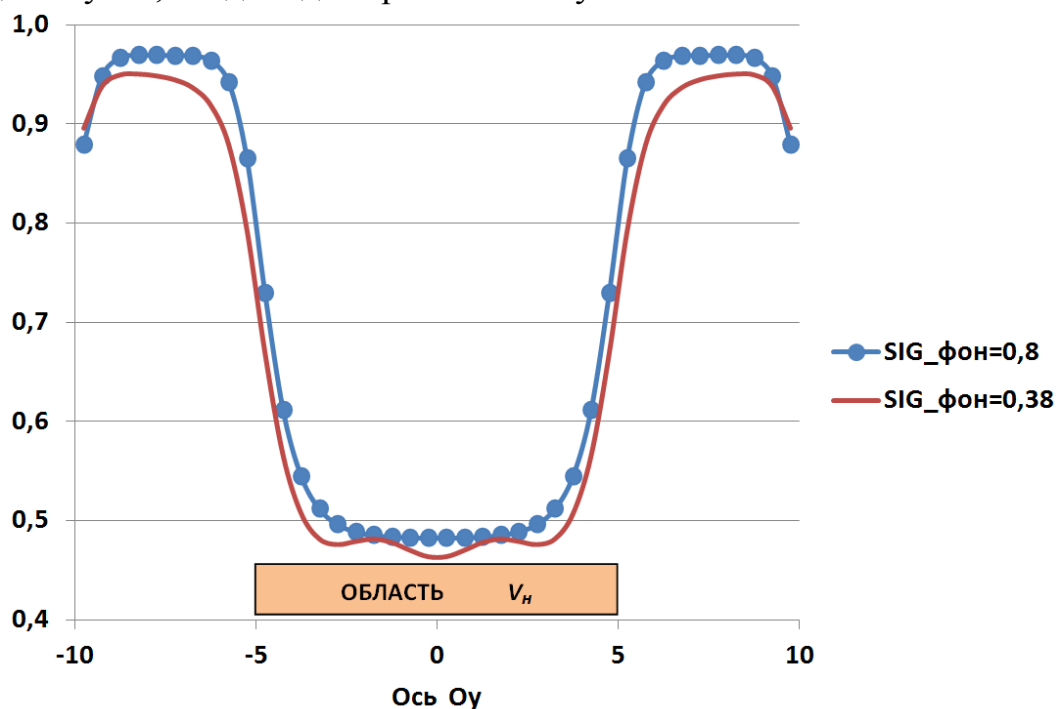


Рис. 7. Модуль горизонтальной компоненты электрического поля  $|E_y|$  на поверхности земли при  $\sigma_\phi / \sigma_1 = 0,8$  и при  $\sigma_\phi / \sigma_1 = 0,38$

Ещё больше эффект неустойчивости с очень большой амплитудой волнистости виден на рисунках 8 и 9 в подобласти  $V_H$  области  $S$ , в которой решается система интегральных уравнений (25)-(26). При пересчёте поля на поверхность земли по формулам (30) и (31) с помощью интегрального оператора происходит некоторое сглаживание этой сильной волнистости. Поэтому на рисунке 7 уже наблюдается более плавное поведение кривой при  $\sigma_\phi / \sigma_1 = 0,38$ , которое маскирует и скрывает очень большой разброс значений для неустойчивого решения в подобласти  $V_H$  области  $S$ .

Поведение поля на рисунках 4 и 5 легко можно было объяснить геофизически. Для рисунков 8 и 9 это уже невозможно сделать. Сильную волнистость на рисунках 8 и 9 можно объяснить с помощью линейной алгебры. При  $\sigma_\phi / \sigma_1 = 0,8$  матрица системы линейных алгебраических уравнений, к которой сводятся интегральные уравнения (25)-(26) является невырожденной. Поэтому система линейных алгебраических уравнений решается устойчиво.

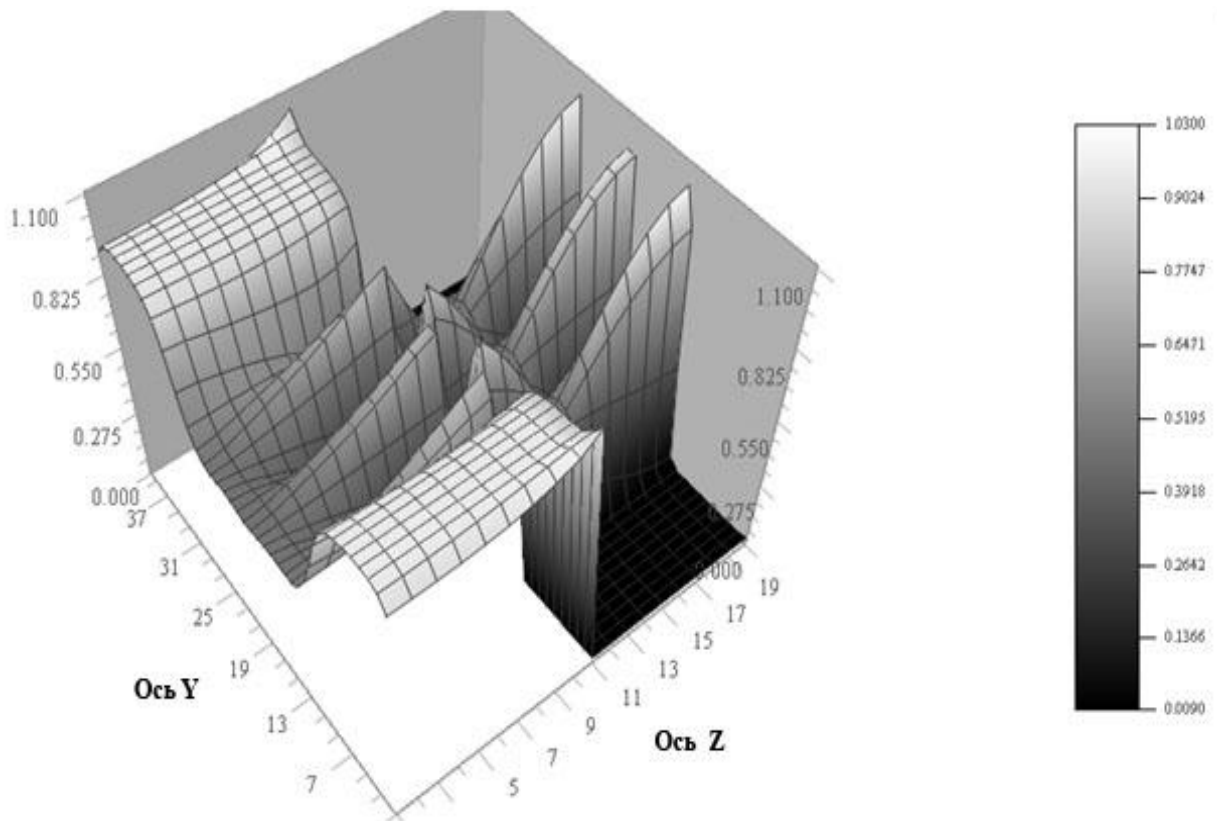


Рис. 8. Модуль горизонтальной компоненты электрического тока  $|J_y|$  при  $\sigma_\phi / \sigma_1 = 0,38$

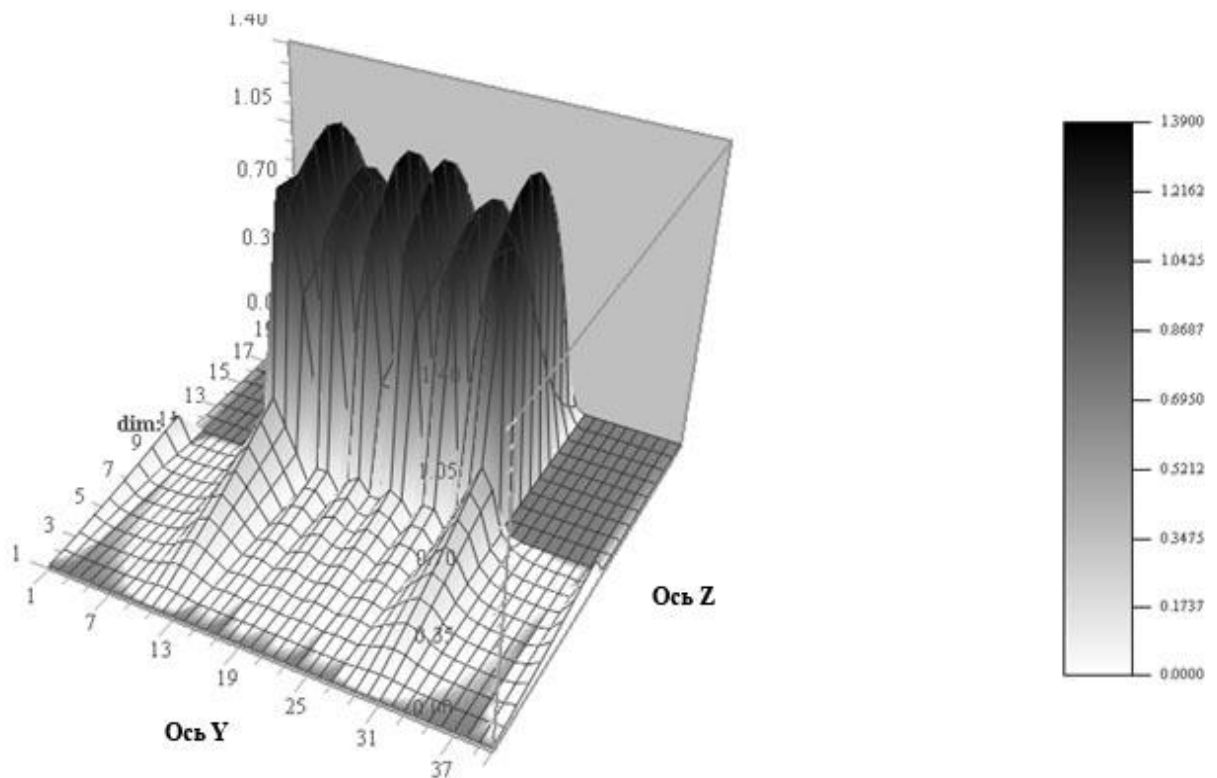


Рис. 9. Модуль вертикальной компоненты электрического тока  $|J_z|$  при  $\sigma_\phi / \sigma_1 = 0,38$

При уменьшении фоновой проводимости до значения  $\sigma_\phi / \sigma_1 = 0,38$  утрачивается свойство невырожденности у матрицы системы линейных алгебраических уравнений. Она становится близкой к вырожденной. Такая система решается уже неустойчиво.

Таким образом, параметр  $\sigma_\phi$ , предложенный в работе [1], является актуальным параметром регуляризации, использование которого расширяет область применения метода интегральных уравнений.

## Литература

1. *Дмитриев В.И.*, Об использовании метода интегральных уравнений в низкочастотной электродинамике неоднородных контрастных сред. Прикладная математика и информатика. Труды Прикладная математика и информатика. Выпуск № 54, 2017 год. Стр. 50 – 56.
2. *Дмитриев В.И., Захаров Е.В.* Метод интегральных уравнений в вычислительной электродинамике.- М. МАКСПресс. 2008,-316с.
3. *Дмитриев В.И.* Морские электромагнитные зондирования. –М. АР-ГАМАК МЕДИА, 2004,-192с.
4. *Дмитриев В.И., Белкин П.С., Мерцикова Н.А.* Метод интегральных уравнений в моделировании двумерных задач геоэлектрики // Прикладная математика и информатика № 18, М.: Изд-во факультета ВМиК МГУ, 2004, с. 5-16.